

УДК 532.517.4

## **Динамика безымпulsiveного турбулентного следа в сдвиговом потоке линейно стратифицированной среды<sup>\*</sup>**

**О.Ф. Воропаева, Г.Г. Черных**

*Институт вычислительных технологий СО РАН, Новосибирск  
Новосибирский государственный университет*

E-mails: vorop@ict.nsc.ru, chernykh@ict.nsc.ru

Построена численная модель и выполнено исследование динамики безымпulsiveного турбулентного следа в горизонтально однородном сдвиговом потоке линейно стратифицированной среды. Полученные данные демонстрируют трансформацию области турбулентных возмущений и генерируемых следом внутренних волн под воздействием сдвигового потока, а также существенное порождение энергии турбулентности осредненным движением, приводящее к замедлению вырождения турбулентности при больших временах после прохода тела.

**Ключевые слова:** безымпulsiveный турбулентный след, внутренние волны, сдвиговое течение, стратифицированная среда, численное моделирование.

### **Введение**

Динамика безымпulsiveного турбулентного следа в линейно стратифицированной среде изучена достаточно подробно (см. обзоры [1–5]). Построены эффективные численные модели, основанные на полуэмпирических моделях турбулентности второго и третьего порядка, методе крупных вихрей (LES) и методе прямого численного моделирования (DNS). Результаты расчетов хорошо согласуются с результатами лабораторных измерений. Представляет интерес течение в безымпulsiveном турбулентном следе при наличии линейной устойчивой стратификации среды и горизонтально однородного линейного сдвигового течения. В настоящей работе построена численная модель такого течения для случая ненулевого сдвига скорости в плоскости, ортогональной оси следа, и представлены результаты численных экспериментов. Показано, что турбулентный след и генерируемые им внутренние волны существенно деформируются в направлении фонового сдвигового течения; при этом наблюдается замедление вырождения турбулентности при больших временах после прохода тела.

---

<sup>\*</sup> Работа выполнена при финансовой поддержке РФФИ (гранты 10-01-00435, 12-01-00648, 13-01-00246) и Программы государственной поддержки научных школ (НШ 5006.2014.9).

### Постановка задачи

Для описания динамики безымпulsive турбулентного следа в горизонтально однородном ( $U = U_s(y)$ ) сдвиговом потоке привлекается следующая система осредненных по Рейнольдсу уравнений:

$$\frac{\partial U}{\partial t} + U \frac{\partial U}{\partial x} + V \frac{\partial U}{\partial y} = -\frac{1}{\rho_0} \cdot \frac{\partial \langle p_1 \rangle}{\partial x} - \frac{\partial \langle u'^2 \rangle}{\partial x} - \frac{\partial \langle u'v' \rangle}{\partial y}, \quad (1)$$

$$\frac{\partial V}{\partial t} + U \frac{\partial V}{\partial x} + V \frac{\partial V}{\partial y} = -\frac{1}{\rho_0} \cdot \frac{\partial \langle p_1 \rangle}{\partial y} - \frac{\partial \langle u'v' \rangle}{\partial x} - \frac{\partial \langle v'^2 \rangle}{\partial y} - \frac{g}{\rho_0} \langle \rho_d \rangle, \quad (2)$$

$$\frac{\partial W_d}{\partial t} + U \frac{\partial W_d}{\partial x} + V \frac{\partial W_d}{\partial y} = \frac{\partial \langle u'w' \rangle}{\partial x} + \frac{\partial \langle v'w' \rangle}{\partial y}, \quad (3)$$

$$\frac{\partial \langle \rho_d \rangle}{\partial t} + U \frac{\partial \langle \rho_d \rangle}{\partial x} + V \frac{\partial \langle \rho_d \rangle}{\partial y} + V \frac{d\rho_s}{dy} = -\frac{\partial \langle u'\rho' \rangle}{\partial x} - \frac{\partial \langle v'\rho' \rangle}{\partial y}, \quad (4)$$

$$\frac{\partial U}{\partial x} + \frac{\partial V}{\partial y} = 0. \quad (5)$$

Введением функции тока  $\psi$  и завихренности  $\omega$ , где  $\omega = \partial U / \partial y - \partial V / \partial x$ ,  $U = \partial \psi / \partial y$ ,  $V = -\partial \psi / \partial x$ , система уравнений (1), (2), (5) сводится к следующей:

$$\begin{aligned} & \frac{\partial \omega_d}{\partial t} + \frac{\partial \psi_d}{\partial y} \frac{\partial \omega_d}{\partial x} + \frac{d\psi_s}{dy} \cdot \frac{\partial \omega_d}{\partial x} - \frac{\partial \psi_d}{\partial x} \cdot \frac{\partial \omega_d}{\partial y} = \\ & = -\frac{\partial^2 (\langle u'^2 \rangle - \langle v'^2 \rangle)}{\partial x \partial y} - \frac{\partial^2 \langle u'v' \rangle}{\partial y^2} + \frac{\partial^2 \langle u'v' \rangle}{\partial x^2} + \frac{g}{\rho_0} \cdot \frac{\partial \langle \rho_d \rangle}{\partial x}, \end{aligned} \quad (6)$$

$$\frac{\partial^2 \psi_d}{\partial x^2} + \frac{\partial^2 \psi_d}{\partial y^2} = \omega_d. \quad (7)$$

В уравнениях (1)–(7) и ниже приняты следующие обозначения:  $U = U_1$ ,  $V = U_2$ ,  $W = U_3$ , эти величины являются компонентами скорости осредненного движения в направлении осей  $x = x_1$ ,  $y = x_2$ ,  $z = x_3$  (для удобства ось  $z$  направлена вдоль оси движения тела, ось  $y$  — вертикально вверх), а  $u' = u'_1$ ,  $v' = u'_2$ ,  $w' = u'_3$  — соответствующие компоненты скорости пульсационного движения;  $W_0$  — продольная компонента скорости набегающего потока,  $t = z/W_0$  — время после прохода тела,  $U_s = U_s(y)$  — скорость фонового сдвигового течения,  $W_d = W_0 - W$  — дефект осредненной горизонтальной продольной компоненты скорости;  $\omega_d = \omega - \omega_s$ ,  $\psi_d = \psi - \psi_s$  — дефекты завихренности и функции тока соответственно,  $\omega_s$  и  $\psi_s$  — завихренность и функция тока фонового сдвигового течения,  $\rho_d = \rho - \rho_s$  — дефект плотности, где  $\rho_s = \rho_s(z) = \rho_0(1 - az)$  — плотность невозмущенной среды;  $\mathbf{g} = (0, -g, 0)$  — ускорение силы тяжести,  $\langle \rangle$  — знак осреднения; штрихами помечены пульсационные составляющие полей скорости и плотности. В уравнениях математической модели отброшены в предположении малости члены с молекулярной вязкостью, производная по переменной  $z$  от давления в правой части уравнения (3), а также производные по  $z$  от компонент тензора реинольдсовых напряжений и

вектора турбулентных потоков в уравнениях (1)–(4) и дефекта продольной осредненной компоненты скорости  $W_d$  в (5). При записи уравнений (6), (7) учтена линейность горизонтально однородного фонового сдвигового течения.

Система уравнений (3), (4), (6), (7) незамкнута. Для ее замыкания привлекается математическая модель, включающая в себя уравнения переноса компонент тензора реинольдсовых напряжений  $\langle u'_i u'_i \rangle$  ( $i = 1, 2, 3$ ),  $\langle u'v' \rangle$  (здесь и далее по повторяющимся индексам предполагается суммирование):

$$\begin{aligned} \frac{\partial \langle u'_i u'_j \rangle}{\partial t} + U \frac{\partial \langle u'_i u'_j \rangle}{\partial x} + V \frac{\partial \langle u'_i u'_j \rangle}{\partial y} &= \frac{\partial}{\partial x} K_{ex} \frac{\partial \langle u'_i u'_j \rangle}{\partial x} + \frac{\partial}{\partial y} K_{ey} \frac{\partial \langle u'_i u'_j \rangle}{\partial y} + \\ + P_{ij} + G_{ij} - \frac{2}{3} \delta_{ij} \varepsilon - c_1 \frac{\varepsilon}{e} \left( \langle u'_i u'_j \rangle - \frac{2}{3} \delta_{ij} e \right) - c_2 \left( P_{ij} - \frac{2}{3} \delta_{ij} P \right) - c_2 \left( G_{ij} - \frac{2}{3} \delta_{ij} G \right), \end{aligned} \quad (8)$$

$$K_{ex} = c_s \frac{e}{\varepsilon} \langle u'^2 \rangle, \quad K_{ey} = c_s \frac{e}{\varepsilon} \langle v'^2 \rangle, \quad e = (\langle u'^2 \rangle + \langle v'^2 \rangle + \langle w'^2 \rangle)/2,$$

$$P_{ij} = - \left\{ \langle u'_i u'_k \rangle \frac{\partial U_j}{\partial x_k} + \langle u'_j u'_k \rangle \frac{\partial U_i}{\partial x_k} \right\}, \quad G_{ij} = \frac{1}{\rho_0} \left\{ \langle u'_i \rho' \rangle g_j + \langle u'_j \rho' \rangle g_i \right\},$$

$$i, j, k = 1, 2, 3, \quad 2P = P_{ii}, \quad 2G = G_{ii}.$$

Касательные компоненты тензора реинольдсовых напряжений  $\langle u'_i u'_i \rangle$  и компоненты вектора турбулентных потоков скаляра  $\langle u'_i \rho' \rangle$  аппроксимируются алгебраическими соотношениями

$$\begin{aligned} \langle u'_3 u'_1 \rangle &= \frac{(1-c_2)e \langle u'^2 \rangle + \frac{(1-c_2)(1-c_{2T})}{c_{1T}} \cdot \frac{g_l}{\rho_0} \cdot \frac{e^2}{\varepsilon} \langle u'_i \rho' \rangle}{c_1 \varepsilon \left( 1 + \frac{(1-c_2)}{c_1 c_{1T}} \cdot \frac{g_l}{\rho_0} \cdot \frac{e^2}{\varepsilon^2} \cdot \frac{\partial \langle \rho \rangle}{\partial x_l} \right)} \cdot \frac{\partial W_d}{\partial x_l} = K_l \frac{\partial W_d}{\partial x_l}, \\ - \langle u'_i \rho' \rangle &= \frac{e \langle u'^2 \rangle}{c_{1T} \varepsilon \left( 1 + 2 \frac{1-c_{2T}}{c_{1T} c_T} \cdot \frac{g_l}{\rho_0} \cdot \frac{e^2}{\varepsilon^2} \cdot \frac{\partial \langle \rho \rangle}{\partial x_l} \right)} \cdot \frac{\partial \langle \rho \rangle}{\partial x_l} = K_{\rho l} \frac{\partial \langle \rho \rangle}{\partial x_l}, \end{aligned} \quad (9)$$

где  $l = 1, 2$ ; детальное описание этих представлений можно найти, например, в работе [1] и цитируемой там литературе.

Для определения скорости диссипации  $\varepsilon$  также воспользуемся дифференциальным уравнением переноса

$$\frac{\partial \varepsilon}{\partial t} + U \frac{\partial \varepsilon}{\partial x} + V \frac{\partial \varepsilon}{\partial y} = \frac{\partial}{\partial x} K_{ex} \frac{\partial \varepsilon}{\partial x} + \frac{\partial}{\partial y} K_{ey} \frac{\partial \varepsilon}{\partial y} + c_{\varepsilon 1} \frac{\varepsilon}{e} (P + G) - c_{\varepsilon 2} \frac{\varepsilon^2}{e}, \quad (10)$$

где  $K_{ex} = K_{ex}/\sigma$ ,  $K_{ey} = K_{ey}/\sigma$ . В уравнениях (8)–(10) величины  $c_1, c_2, c_{\varepsilon 1}, c_{\varepsilon 2}, c_s, \sigma, c_{1T}, c_{2T}, c_T$  — эмпирические постоянные, их значения равны соответственно 2,2, 0,55, 1,45, 1,90, 0,22, 1,3, 3,2, 0,5, 1,25 и являются общепринятыми.

При  $t = t_0 = z_0/W_0$  задаются следующие начальные условия:

$$e(x, y, t_0) = \Phi_1(r), \quad \varepsilon(x, y, t_0) = \Phi_2(r), \quad W_d(x, y, t_0) = \Phi_3(r),$$

$$r^2 = x^2 + y^2, \quad 0 \leq r < \infty;$$

$$\psi_d = \omega_d = \langle \rho_d \rangle = \langle u'v' \rangle = 0, \quad \langle u'^2 \rangle = \langle v'^2 \rangle = \langle w'^2 \rangle = (2/3)e.$$

Здесь  $\Phi_1(r)$ ,  $\Phi_2(r)$ ,  $\Phi_3(r)$  — колоколообразные функции, согласованные с экспериментальными данными Линя и Пао [6, 7] по динамике безимпульсного турбулентного следа за удлиненным телом вращения. Поскольку рассматривается безимпульсный турбулентный след, то функция  $\Phi_3(r)$  удовлетворяет условию

$$\int_{-\infty}^{\infty} \int_{-\infty}^{\infty} W_d dx dy = \int_{-\infty}^{\infty} \int_{-\infty}^{\infty} W_d(x, y, t_0) dx dy = 0.$$

Фоновое сдвиговое течение определяют функции

$$U_s = (\alpha W_0 / D)y, \quad V = 0, \quad \alpha = \text{const.}$$

При  $r \rightarrow \infty$  ставились условия невозмущенного потока. При численной реализации эти условия из бесконечности сносились на границы достаточно большого прямоугольника, оптимальные размеры которого определялись в ходе численных экспериментов. Схема течения в плоскости, ортогональной направлению движения тела, представлена на рис. 1.

Переменные задачи обезразмериваются путем применения в качестве масштаба скорости величины  $W_0$ , в качестве масштаба длины — величины диаметра тела  $D$ , а также посредством обезразмеренного представления осредненного дефекта плотности  $\langle \rho_d \rangle^* = \langle \rho_d \rangle / (aD\rho_0)$ . Определим характерный параметр устойчиво стратифицированного течения — плотностное число Фруда  $F_D$ :

$$F_D = W_0 T / D, \quad T = 2\pi / \sqrt{ag} = 1/N, \quad a = (-1/\rho_0)(d\rho_s/dy),$$

где  $T$  и  $N$  — период и частота Вэйсяля–Брента. По аналогии с плотностным числом Фруда удобно ввести величину  $F_s$ , имеющую смысл сдвигового аналога числа Фруда:

$$F_s = W_0 T_s / D, \quad T_s = (dU_s/dy)^{-1} = D/\alpha W_0, \quad U_s^* = y^* / F_s.$$

Тогда характерный параметр сдвигового течения в устойчиво стратифицированной среде — число Ричардсона  $Ri$  — выражается через указанные параметры следующим образом:  $Ri = 4\pi^2 \cdot F_s^2 / F_D^2$ . При этом для рассматриваемого горизонтально однородного сдвигового течения  $F_s = 1/\alpha$ . В результате в обезразмеренных уравнениях вместо

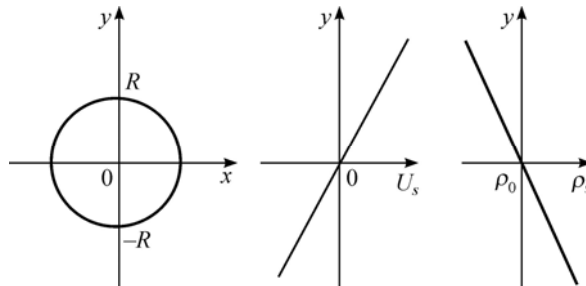


Рис. 1. Схема течения в плоскости, ортогональной направлению движения тела.  
 $R$  — начальный радиус зоны турбулентного смешения.

величины  $g$  появится величина  $4\pi^2/F_D^2$ , одновременно слагаемое  $(d\psi_s/dy) \cdot (\partial\omega_d/\partial x)$  в уравнении (7) после обезразмеривания примет вид:  $(y^*/F_s) \cdot (\partial\omega_d^*/\partial x^*)$  (здесь и ниже обезразмеренные переменные помечены знаком  $*$ ), а роль обезразмеренного времени будет играть величина  $z^* = z/D$ .

Уравнения математических моделей переписываются в новой системе координат. Введением новых независимых переменных  $\xi = \chi_1(x)$ ,  $\eta = \chi_2(y)$ , ( $x = \varphi_1(\xi)$ ,  $y = \varphi_2(\eta)$ ) осуществляется переход от неравномерной сетки на плоскости  $(x, y)$  к равномерной на плоскости  $(\xi, \eta)$ , якобиан преобразования  $J = \frac{\partial x}{\partial \xi} \cdot \frac{\partial y}{\partial \eta} = x_\xi \cdot y_\eta$ . Шаг сетки по времени выбирался переменным. Неравномерные ортогональные пространственные сетки сгущаются в окрестности максимальных значений энергии турбулентности. Численный алгоритм сводится к последовательному определению на каждом временном слое неизвестных задачи, при этом для упрощения процедуры расчетов вычисленные на новом слое переменные участвуют в определении остальных неизвестных на этом слое. Для решения уравнения (6) привлекается схема предиктор-корректор со схемой расщепления в качестве предиктора и аппроксимацией конвективных слагаемых схемой с направленными разностями. Уравнение Пуассона (7) решается по итерационной схеме стабилизирующей поправки. Численное интегрирование дифференциальных уравнений (3), (4), (8), (10) проводится по схеме расщепления с привлечением центрально-разностных аппроксимаций производных. Конечно-разностные уравнения на каждом дробном шаге решаются поочередно с применением скалярных прогонок. Подробное описание численного алгоритма было представлено в работе [1], где решалась задача о динамике безымпурсного турбулентного следа за телом вращения в отсутствие сдвигового течения и было получено достаточно хорошее согласование с экспериментальными данными Линя и Пао [6, 7] в однородной и линейно стратифицированной средах.

### Результаты численных исследований

С целью изучения совместного влияния горизонтально однородного линейного сдвига скорости и линейной устойчивой плотностной стратификации на динамику безымпурсного турбулентного следа выполнены численные эксперименты, соответствующие достаточно широкому диапазону значений сдвигового числа Фруда. Плотностное число Фруда полагалось достаточно большим ( $F_D = 565$ ) и соответствующим условиям одного из лабораторных экспериментов [6]. Трансформацию течения при  $\alpha = 5 \cdot 10^{-4}$  ( $F_s = 2 \cdot 10^3$ ,  $Ri = 494,68$ ),  $\alpha = 1 \cdot 10^{-3}$  ( $F_s = 10^3$ ,  $Ri = 123,57$ ),  $\alpha = 2 \cdot 10^{-3}$  ( $F_s = 500$ ,  $Ri = 30,91$ ),  $\alpha = 2,5 \cdot 10^{-3}$  ( $F_s = 400$ ,  $Ri = 19,78$ ) иллюстрируют рис. 2–9.

Рисунки 2, 3 показывают динамику области турбулентных возмущений в плоскости, ортогональной направлению движения тела, в зависимости от параметра сдвига  $\alpha$ . Представлены данные для трех характерных сечений турбулентного следа, когда время после прохода тела  $t = z/W_0 = z/(DF_D)T$  составляет  $t = 1T, 2T, 3T$ . Видно, что сдвиговое течение приводит к весьма существенной деформации первоначально круглой области турбулентного смешения в направлении фонового сдвига скорости. Одновременно воздействие стратификации среды проявляется в интенсивном распространении следа в поперечном направлении. Таким образом, имеет место взаимное влияние двух факторов — стратификации и сдвигового течения. При достаточно большом градиенте  $\alpha$  скорости сдвигового течения его воздействие на турбулентный след может быть более выраженным,

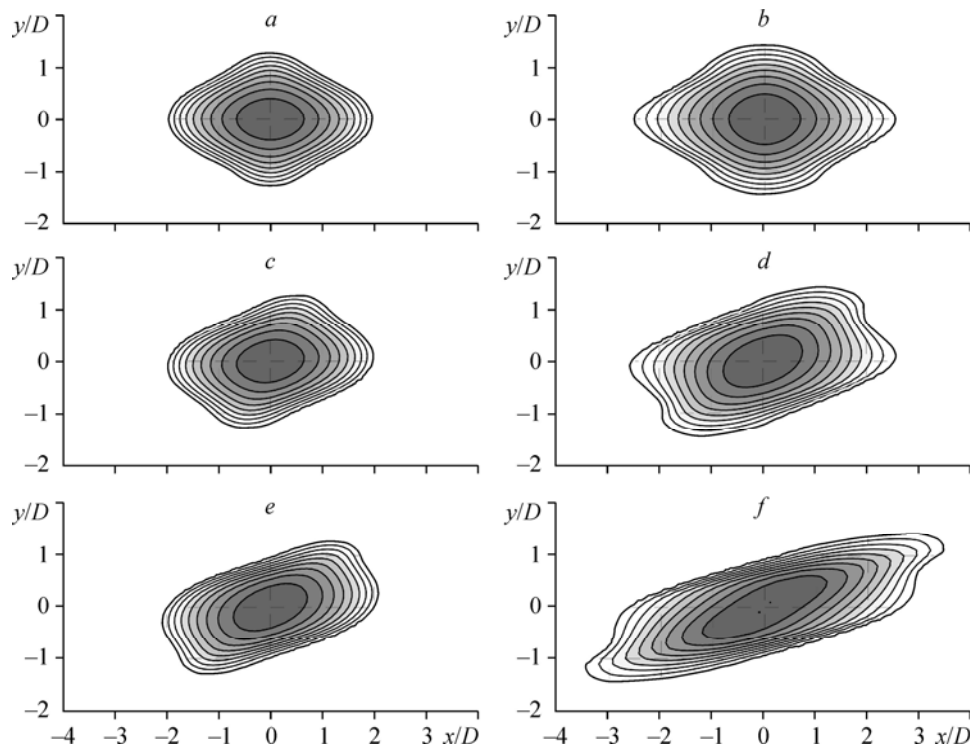
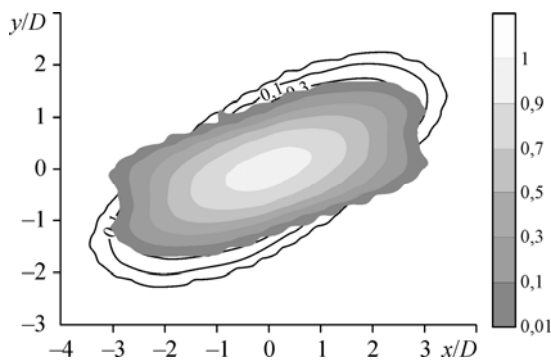


Рис. 2. Изолинии энергии турбулентности  $e(t, x, y)/e(t, 0, 0) = \text{const}$  в линейно стратифицированной среде в зависимости от сдвига скорости при  $t/T = 1$  (слева) и  $t/T = 2$  (справа).

$a, b$  — бессдвиговое течение,  $c, d$  —  $Ri = 123,57$ ,  $e, f$  —  $Ri = 19,78$ ; линии уровня представлены значениями от 1 до 0 с шагом 0,1; наибольшее затенение соответствует максимальным значениям энергии турбулентности.

чем воздействие стратификации. Дополнительно на рис. 3 сопоставляются изолинии энергии турбулентности, соответствующие однородной по плотности и линейно стратифицированной средам при одинаковом значении  $F_s = 1000$  ( $\alpha = 1 \cdot 10^{-3}$ ) и одинаковом расстоянии от тела ( $z = 1700D$ ), эквивалентном в случае линейной стратификации величине  $t \approx 3T$ . Рисунок 3 показывает, что, согласно расчетам, стратификация может способствовать более умеренной трансформации турбулентного следа под действием фоновое сдвигового течения.

Хорошо известно (см., например, [1, 3] и цитированную там литературу), что вырождение турбулентного следа в стратифицированной среде сопровождается активной генерацией внутренних волн. При этом соответствующее конвективное течение в плоскости, ортогональной направлению движения тела, характеризуется рождением



вихрей противоположной направленности вблизи вертикальной оси и их последующим перемещением к горизонтальной оси. Внутренние волны,

Рис. 3. Изолинии энергии турбулентности  $e(t, x, y)/e(t, 0, 0) = \text{const}$  при  $\alpha = 1 \cdot 10^{-3}$  на расстоянии  $z = 1700D$  от тела.

Сплошные линии — однородная по плотности среда ( $g = 0$ ), окрашенная область — линейно стратифицированная среда при  $F_D = 565$ .

генерируемые безымпulsive турбулентным следом в линейно стратифицированной среде под воздействием фонового сдвигового потока, представлены на рис. 4–6.

На рис. 4 отображена общая картина течения в следе в линейно стратифицированной среде в отсутствие сдвига скорости ( $\alpha = 0$ ) и при наличии фонового сдвига скорости ( $\alpha = 1 \cdot 10^{-3}$ ). В центре расчетной области изолиниями энергии турбулентности показана зона турбулентных возмущений; в окружающем ее спутном потоке изолинии дефекта функции тока иллюстрируют конвективное движение. Здесь же представлено двумерное поле скорости, вычисленное по дефекту функции тока  $\psi_d$ . Отчетливо видна трансформация области турбулентного смешения и линий  $\psi_d = \text{const}$  в сдвиговом потоке. При этом наиболее интенсивные конвективные движения наблюдаются в окрестности оси  $x$ , захватывая и зону турбулентности. Отметим, что со временем линии тока с заданным интервалом значений занимают все большую область, число конвективных вихрей растет, а интенсивность каждого из них падает.

Характерную для разных значений параметра сдвига  $\alpha$  фазовую картину внутренних волн демонстрируют изолинии дефекта плотности, они показаны на рис. 5, 6. Здесь линии постоянной фазы  $\partial \langle \rho_d \rangle^* / \partial x^* = 0$  — границы между светлыми и затененными областями — отвечают гребням и впадинам внутренних волн. Видно, что существенному искажению сдвиговым потоком подвергается не только область турбулентного следа и картина конвективных вихрей, но и фазовая картина внутренних волн. Можно отметить (рис. 4–6), что на умеренном удалении от тела, соответствующем одному периоду Вэйсяля–Брента, при всех рассмотренных значениях  $\alpha$  воздействие сдвигового течения сводится к «повороту» фазовой картины, нарушающему осевую симметрию (относительно вертикальной оси  $y$ ) внутренних волн. Однако с ростом расстояния от тела при достаточно больших значениях  $\alpha$ , соответствующих достаточно малым значениям  $Re$ , наблюдается не только поворот, но и более интенсивное оттеснение внутренних волн

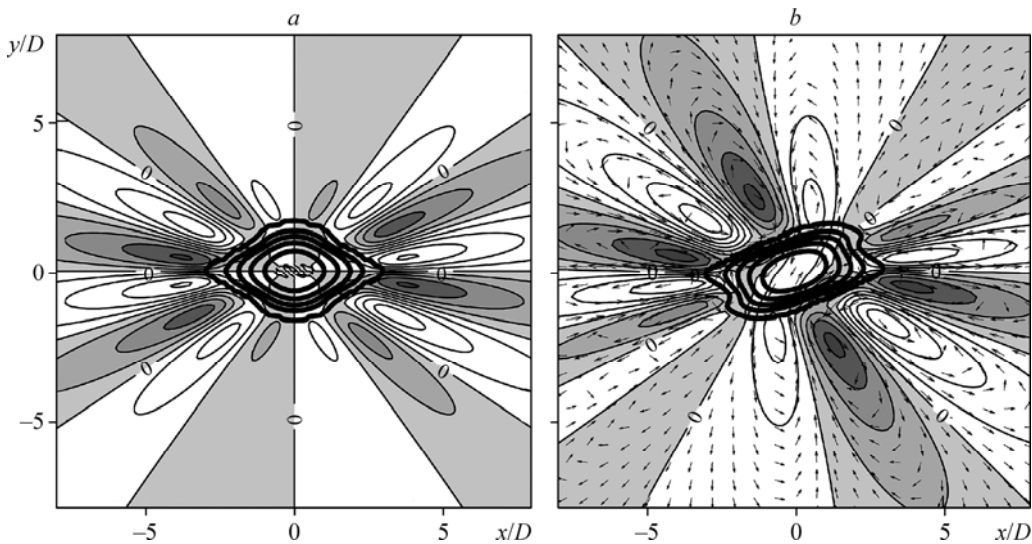


Рис. 4. Общая картина течения в следе в отсутствие сдвига скорости (а) и при наличии фонового сдвига скорости при  $\alpha = 10^{-3}$  (б).

Жирные линии — изолинии энергии турбулентности  $e(t, x, y)/e(t, 0, 0) = \text{const}$  (значения уровней изменяются от 0 до 1 с шагом 0,2), сплошные тонкие кривые — линии  $\psi_d^* = \psi_d/(DW_0) = \text{const}$  (значения уровней изменяются от  $-2,5 \cdot 10^{-4}$  до  $2,5 \cdot 10^{-4}$  с шагом  $5 \cdot 10^{-5}$ ); затененные участки — области отрицательных значений функции  $\psi_d$ , светлые участки — области, где  $\psi_d \geq 0$ ; стрелками показано двумерное поле скорости, вычисленное по дефекту функции тока  $\psi_d$ ;  $Fr_D = 565$ ,  $t/T = 2$ .

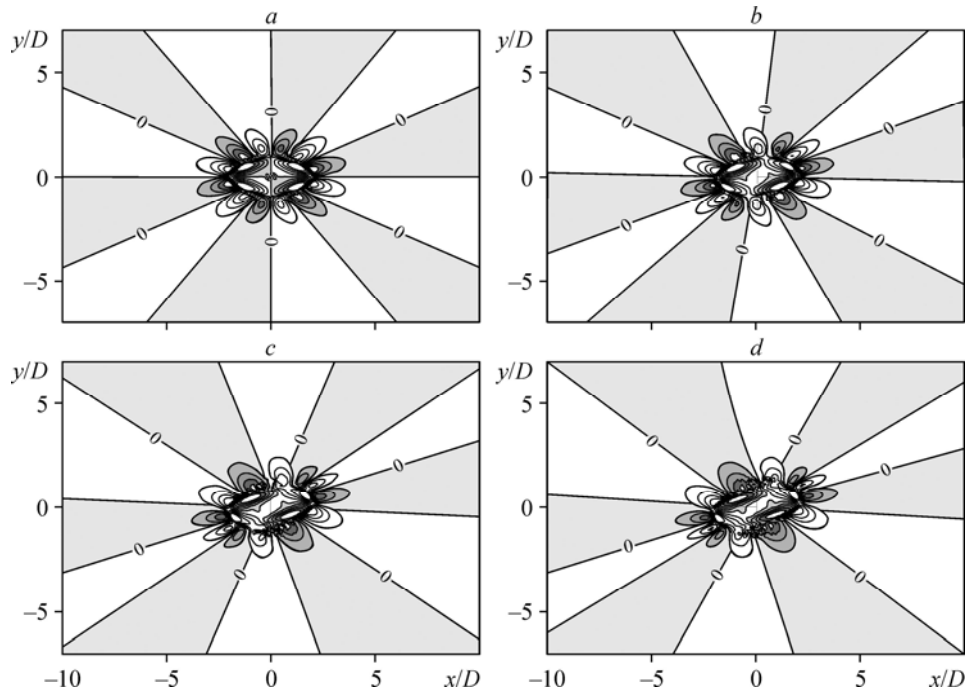


Рис. 5. Изолинии  $\partial\langle\rho_d\rangle^*/\partial x^* = \text{const}$  при  $F_D = 565$  и  $t/T = 1$ .

$a$  — бесшдвигое течение,  $b$  —  $Ri = 123,57$ ,  $c$  —  $Ri = 30,91$ ,  $d$  —  $Ri = 19,78$ ;  
 изолинии  $e/e_0 = \text{const}$  представлены значениями уровней от 1 до 0,1 с шагом 0,1,  
 изолинии  $\partial\langle\rho_d\rangle^*/\partial x^* = \text{const}$  представлены значениями уровней от  $-0,08$  до  $0,08$  с шагом 0,02,  
 затемнением отмечены области отрицательных значений функции.

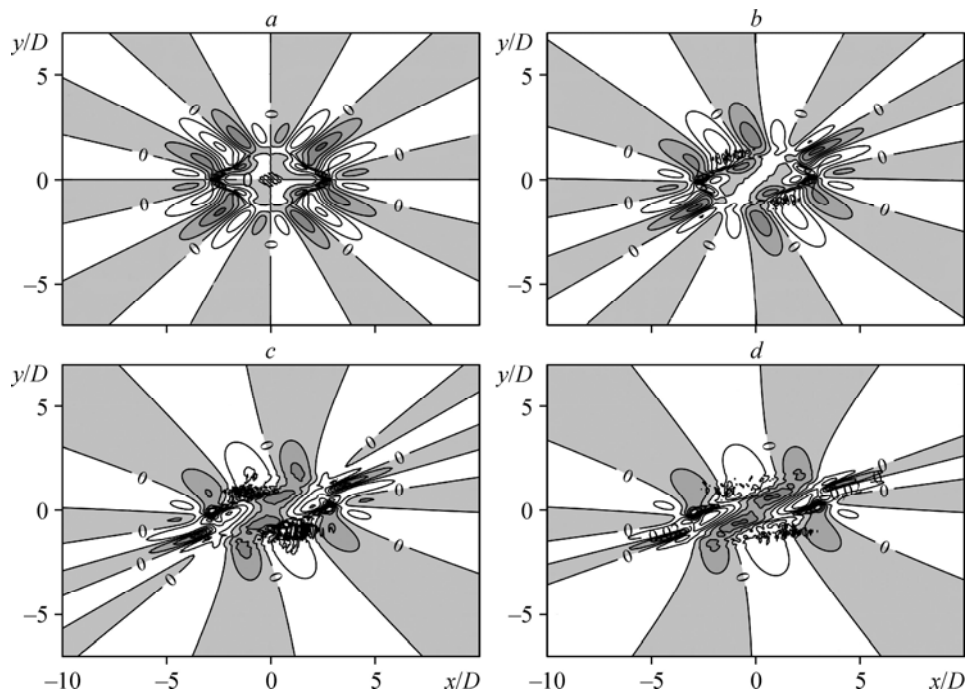


Рис. 6. Изолинии  $\partial\langle\rho_d\rangle^*/\partial x^* = \text{const}$  при  $F_D = 565$  и  $t/T = 2$ .

$a$  — бесшдвигое течение,  $b$  —  $Ri = 123,57$ ,  $c$  —  $Ri = 30,91$ ;  $d$  —  $Ri = 19,78$ ; значения уровней те же, что на рис. 5.

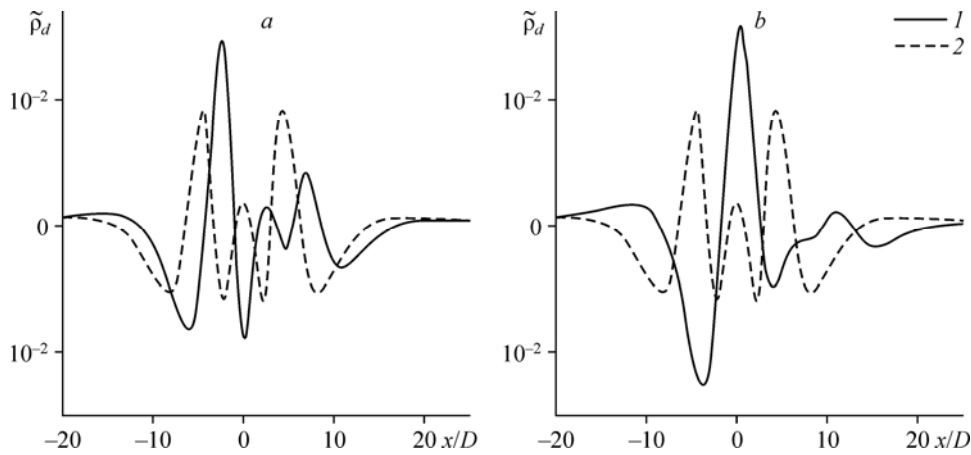


Рис. 7. Изменение дефекта плотности  $\tilde{\rho}_d(x^*) = \langle \rho_d(2, x^*, 4) \rangle^*$  в характерном сечении плоскостью  $y^* = 4$  в зависимости от сдвига скорости.  
 1 — сдвиговое течение:  $\alpha = 1 \cdot 10^{-3}$  (a),  $2,5 \cdot 10^{-3}$  (b), 2 —  $\alpha = 0$ .

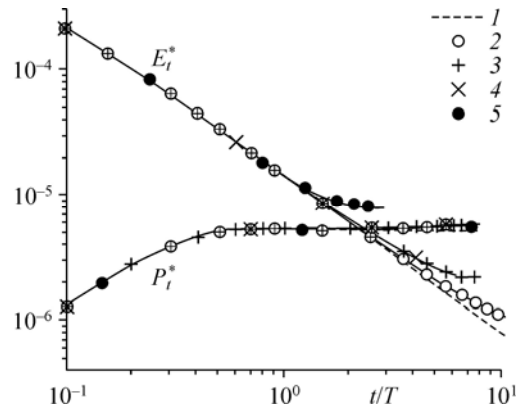
к горизонтальной оси. Этот процесс может характеризоваться «поглощением» внутренних волн при существенном росте их амплитуды в окрестности области турбулентных возмущений, так что рост количества гребней и впадин внутренних волн может со временем прекратиться. Этот факт достаточно наглядно иллюстрирует рис. 7, где на достаточно большом удалении от тела в направлении маршевой переменной случаю сдвигового течения при  $\alpha = 2,5 \cdot 10^{-3}$  соответствует меньшее число гребней и впадин внутренних волн, чем при  $\alpha = 1 \cdot 10^{-3}$  или  $\alpha = 0$ . Заметим, что суммарная энергия внутренних волн при сокращении гребней и впадин внутренних волн остается весьма близкой к случаю бессдвигового течения (см. рис. 8). Следует отметить также, что модельная задача о динамике ламинарного локального возмущения поля плотности в сдвиговом потоке линейно стратифицированной среды подробно рассматривалась в работах [8, 9], рассчитанная там волновая картина течения качественно согласуется с полученной в настоящей работе.

Изменение суммарных энергий турбулентности  $E_t^* = \int_{-\infty}^{\infty} \int_{-\infty}^{\infty} e^* \cdot dx^* \cdot dy^*$  и внутренних

волн  $P_t^* = \int_{-\infty}^{\infty} \int_{-\infty}^{\infty} \left( \frac{U_d^{*2} + V^{*2}}{2} + \frac{4\pi^2}{F_D^2} \cdot \frac{\langle \rho_d \rangle^{*2}}{2} \right) dx^* dy^*$  в зависимости от времени после прохода

тела  $t$  представлено на рис. 8 для значений  $Re = 494,68, 123,57$  и  $19,78$  при фиксированном  $F_D = 565$  (здесь принято

Рис. 8. Изменение во времени суммарных энергий турбулентности  $E_t^*$  и внутренних волн  $P_t^*$  в зависимости от сдвига скорости.  
 1 — бессдвиговое течение; 2 —  $\alpha = 5 \cdot 10^{-4}$ ,  
 3 —  $\alpha = 1 \cdot 10^{-3}$ , сетка 1; 4 —  $\alpha = 1 \cdot 10^{-3}$ , сетка 2;  
 5 —  $\alpha = 2,5 \cdot 10^{-3}$ .



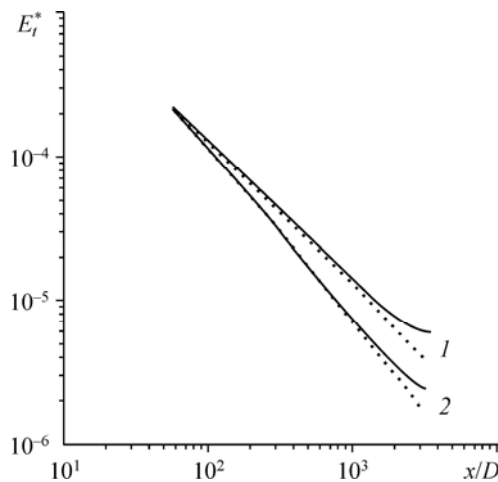


Рис. 9. Изменение суммарной энергии турбулентности  $E_t^*$  в зависимости от расстояния от тела.

Линии: 1 — однородная среда,  $g = 0$ ,  
2 — стратифицированная среда,  $F_D = 565$ ;  
пунктирные линии — бессдвиговое течение,  
сплошные — сдвиговое течение при  $\alpha = 10^{-3}$ .

обозначение  $U_d = U - U_s$ ). Наличие порождения энергии турбулентности за счет сдвигового течения приводит к тому, что с ростом времени величина  $E_t$  перестает убывать. С ростом  $F_s$  (и, соответственно, числа Ричардсона) участок вырождения суммарной энергии турбулентности, на котором эта величина совпадает с энергией при отсутствии сдвига, увеличивается. Суммарная энергия внутренних волн  $P_t$  слабо зависит от величины  $F_s$  на всем рассмотренном интервале времени после прохода тела. Последнее объясняется, по-видимому тем, что стадия формирования волновых движений охватывает относительно небольшие времена вырождения ( $t/T \leq 1$ ), когда воздействие сдвига проявляется слабо. Дополнительно на рис. 9 сопоставляются значения суммарной энергии турбулентности  $E_t^*$ , полученные в случае однородной плотности и линейно стратифицированной сред. Эти данные демонстрируют более быстрое вырождение энергии турбулентности в устойчиво стратифицированной среде (в бессдвиговом случае получены законы вырождения  $E_t \sim x^{-1}$  при  $g = 0$  и  $E_t \sim x^{-1,23}$  — при  $F_D = 565$ ), а также аналогию в эволюции турбулентности в следах под влиянием сдвига скорости в этих двух средах.

Отметим, что все расчеты проводились на последовательности конечно-разностных сеток, на которых была получена сходимость в себе последовательности численных решений. Для исключения негативного влияния граничных условий расчеты выполнялись на последовательности расчетных областей разного размера с применением ряда конечно-разностных сеток, две из которых на основании анализа численных данных были приняты в качестве основных: первая сетка включала  $1000 \times 1000$  узлов, вторая сетка —  $1600 \times 1600$  узлов с одинаковым размером шагов  $h_x = h_y = 0,1D$ . Таким образом, отмеченный выше эффект подкачки энергии турбулентности на больших удалениях от тела в сдвиговом потоке не зависит от параметров используемой конечно-разностной сетки.

### Заключение

Выполнено численное моделирование динамики безымпulsive турбулентного следа под воздействием горизонтально однородного поперечного линейного сдвига скорости. В рамках численных экспериментов показано, что воздействие сдвигового потока приводит к деформированию турбулентного следа и генерируемых им внутренних волн. Выявлено существенное порождение энергии турбулентности осредненным движением, что приводит к замедлению вырождения турбулентности при больших временах “жизни” следа в поперечном сдвиговом потоке.

### Список литературы

1. **Chernykh G.G., Voropaeva O.F.** Numerical modeling of momentumless turbulent wake dynamics in a linearly stratified medium // *Computers and Fluids*. 1999. Vol. 28, No. 3. P. 281–306.
2. **Meunier P., Spedding G.R.** Stratified propelled wakes // *J. Fluid Mech.* 2006. Vol. 552. P. 229–256.
3. **Chernykh G.G., Voropaeva O.F.** Internal waves generated by a momentumless turbulent wake in linearly stratified media // *Russ. J. Numer. Anal. Math. Modelling*. 1999. Vol. 14, No. 4. P. 311–326.
4. **Brucker K.A., Sarkar S.** A comparative study of self-propelled and towed wakes in stratified fluid // *J. Fluid Mech.* 2010. Vol. 652. P. 373–404.
5. **Воропаева О.Ф., Дружинин О.А., Черных Г.Г.** Численные модели динамики безымпulsive турбулентного следа в линейно стратифицированной среде // *Вычислительные технологии*. 2013. Т. 18., № 5. С. 41–57.
6. **Lin J.T., Pao Y.H.** Wakes in stratified fluids // *Annu. Rev. Fluid Mech.* 1979. Vol. 11. P. 317–336.
7. **Hassid S.** Collapse of turbulent wakes in stably stratified media // *J. Hydronautics*. 1980. Vol. 14, No. 1. P. 25–32.
8. **Зудин А.Н., Черных Г.Г.** Примеры расчета нестационарных стратифицированных течений с применением эйлерово-лагранжевой системы координат. Новосибирск, 1985. (Препринт / АН СССР. Сиб. отд., Ин-т теорет. и прикл. механики. № 9–85). 50 с.
9. **Chernykh G.G., Zudin A.N.** Dynamics of local density perturbation in a shear flow of a linearly stratified medium // *Russ. J. Numer. Anal. Math. Modelling*. 2003. Vol. 18, No. 2. P. 117–133.

*Статья поступила в редакцию 2 декабря 2014 г.,  
после доработки — 29 января 2015 г.*